

K-592

ОБЪЕДИНЕННЫЙ ИНСТИТУТ ЯДЕРНЫХ ИССЛЕДОВАНИЙ
ЛАБОРАТОРИЯ НЕЙТРОННОЙ ФИЗИКИ

На правах рукописи

КОЗЛОВСКИЙ Леонид Константинович

**Угловая анизотропия осколков
при делении ориентированных
ядер урана-235 нейтронами**

Специальность № 01.04.16
(физика атомного ядра и космических лучей)

*Автореферат
диссертации на соискание ученой степени
кандидата физико-математических наук*

Дубна — 1975 г.

ОБЪЕДИНЕННЫЙ ИНСТИТУТ ЯДЕРНЫХ ИССЛЕДОВАНИЙ
ЛАБОРАТОРИЯ НЕЙТРОННОЙ ФИЗИКИ

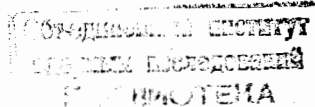
На правах рукописи

КОЗЛОВСКИЙ Леонид Константинович

УГЛОВАЯ АНИЗОТРОПИЯ ОСКОЛКОВ ПРИ ДЕЛЕНИИ ОРИЕНТИРОВАННЫХ
ЯДЕР U^{235} НЕЙТРОНАМИ.

Специальность № 01.04.16
(Физика атомного ядра и космических лучей)

Автореферат
диссертации на соискание ученой степени
кандидата физико-математических наук



Дубна - 1975г.

Работа выполнена в ордена Трудового Красного Знамени

Физико-энергетическом институте.

Научные руководители:

доктор физико-математических наук,

профессор Ю.Я.СТАВИССКИЙ

кандидат физико-математических наук,

старший научный сотрудник Д.И.ТАМБОВЦЕВ

Официальные оппоненты: член-корреспондент АН СССР, профессор

С.М.ПОЛИКАНОВ (ОИЯИ, г.Дубна)

кандидат физико-математических наук,

старший научный сотрудник А.В.ИГНАТОК

(ФЭИ, г.Обнинск)

Ведущее предприятие: ордена Ленина Институт атомной энергии
им. И.В.Курчатова, Москва

Автореферат разослан "23" сбес 1975 г.

Задача диссертации состоится "16" декабря 1975 г.

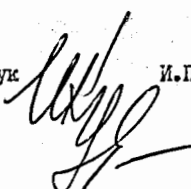
в 14³⁰ час на заседании Объединенного Ученого Совета Лаборатории
нейтронной физики и Лаборатории ядерных реакций ОИЯИ (г.Дубна)
конференцзал ЛНФ).

С диссертацией можно ознакомиться в библиотеке ОИЯИ

Ученый секретарь Совета ЛНФ-ЛНР

кандидат физико-математических наук

И.П.КУЗНЕЦОВА



Зависимость параметров барьера деления от квантовых характеристик делящегося ядра: спина и четности, а также от проекции K полного момента J на ось симметрии ядра является в настоящее время установленным экспериментальным фактом. Это явление получило название канальной структуры барьера деления. Со времени появления работы О.Бора, где гипотеза о наличии и природе этой структуры была выдвинута для объяснения угловой анизотропии разлета осколков деления, ее изучение было посвящено большое число экспериментальных и теоретических работ.

В последние годы во взглядах на процесс деления при энергиях, близких к порогу, произошли серьезные изменения. Они были связаны с обнаружением качественно новых явлений (спонтанно делящиеся изомеры, немонотонная энергетическая зависимость вероятности деления в подбарьерной области, "группировка" нейтронных резонансов), получивших объяснение в модели двугорбого барьера. Качественно объясняя новые явления, эта модель привела к необходимости пересмотра представлений, привлекаемых для количественного описания энергетических зависимостей вероятности деления и угловых распределений осколков, т.е. к пересмотрю методов и результатов традиционного канального анализа.

Усложнение формы барьера деления создает трудности для определения его параметров по результатам эксперимента и предъявляет новые, повышенные требования к точности и разнообразию данных, используемых при анализе. Поэтому важно иметь как можно более разностороннюю информацию о процессе деления ядра заданного нуклонного состава при данной энергии возбуждения.

Необходимым становится сопоставление данных, полученных в разных реакциях, т.е. при делении нейтронами, гамма-квантами и заряженными частицами, а также данных при спонтанном делении.

Известно что угловая анизотропия разлета осколков обуславливается выстроенностью угловых моментов делящегося ядра и отличным от равновероятного распределением переходных состояний делящегося ядра по квантовому числу K . Когда ядра мишени не ориентированы, выстроенность делящихся ядер обуславливается выстроенностью пучка падающих частиц с отличным от нуля орбитальным моментом. Эксперименты с ориентированными ядрами мишени, в которых появляется возможность управлять выстроенностью делящихся ядер при неизменной энергии возбуждения, дают качественно новую информацию для исследования канальной структуры барьера деления. Изменение кинематики образования составного ядра приводит к заметным эффектам в угловых распределениях реакции. Кроме того, изменение вероятности образования составного ядра в состояниях с различными значениями полного момента количества движущих J должно отражаться и на полном сечении реакции.

Известные эксперименты по делению ориентированных ядер U^{235} , проведенные Даббсом, Робертсоном и др. (1960, Ок-Ридж), Даббсом, Миллардом и др. (1965, Ок-Ридж, Сакле), Паттенденом и Постмой (1971, Харуэлл) относятся к делению S -нейtronами (тепловыми и резонансными) в области энергий до 2 кэВ. Наблюдалась анизотропия осколков во всех этих опытах качественно согласуется с гипотезой О.Бора, указывая на преимущественную вероятность деления при малых значениях квантового числа K . В них была отмечена корреляция между делительной шириной и эффективным значением K резонанса или группы резонансов: "слабый" ре-

зонансам (с малой делительной шириной) соответствовало $K_{\text{эфф}} = J$ и наоборот, "сильный" резонансам соответствовало малое значение $K_{\text{эфф}}$.

Представляло интерес изучить деление ориентированных ядер U^{235} нейtronами более высоких энергий, когда сравнимый вклад в сечение образования составного ядра вносят S - и P -нейтроны и где на неориентированных ядрах мишени в области $E_n = 80 - 100$ кэВ, по данным Нестерова, Смирненкина (1966г.,ФЭИ), Смирненкина, Шпака и др. (1970,ФЭИ) наблюдается неожиданная отрицательная анизотропия осколков. Представляло также интерес провести канальный анализ полученных экспериментальных данных угловой анизотропии осколков деления в рамках модели с двугорбым барьером и сравнить полученные результаты с данными канального анализа подбарьерной делительности того же делящегося ядра U^{236} в реакции $U^{235}(d,pf)$, проведенного Баком, Бондорфом и др. (1971, ин-т Нильса Бора) и в реакции $U^{234}(t,pf)$, проведенного Баком, Бриттом и др. (1973, Лос-Аламос). Следует отметить, что оба последних анализа проведены без привлечения известных данных по угловым распределениям осколков в указанных реакциях, полученных Шпехтом, Фрезером и др. (1966, Чик-Ривер), Ванденбушем, Хайзенгей и др. (1967, Арг. Нац. Лаб), Бриттом, Рики и др. (1968, Лос-Аламос) и без сопоставления с результатами нейтронных исследований.

Настоящая диссертация посвящена экспериментальным исследованиям угловой анизотропии разлета осколков при делении ориентированных ядер U^{235} нейtronами в интервале энергий 10-150 кэВ. В области энергий нейtronов 50-150 кэВ измерена также анизотропия осколков для неориентированных ядер мишени. Диссертация со-

стоит из введения, четырех глав, заключения и пяти приложений. В главе I дается понятие ориентации спиновой системы ядер, параметров, используемых для ее количественного описания, и дан обзор существующих методов ориентации ядер актинидов. Глава II посвящена описанию методики проведенных опытов, используемого экспериментального оборудования и полученных результатов измерений. В главе III представлены теоретические выражения, привлекаемые для описания углового распределения осколков и полного сечения деления с учетом ориентации ядер мишени. Глава IV посвящена расчету угловой анизотропии осколков при делении ориентированных и неориентированных ядер мишени U^{235} в исследованной области в рамках одномерной модели с двухорбитальным барьером деления и сравнению результатов расчета с полученными в наших опытах, а также другими известными экспериментальными данными. В приложениях приведены некоторые рабочие и вспомогательные расчеты, выкладки и таблицы.

Для ориентации ядер U^{235} применен метод, предложенный Дэббосом (1960, Ок-Ридж), который основан на использовании взаимодействия электрического квадрупольного момента ядра U^{235} с неоднородным, аксиально-симметричным электрическим полем кристалла уранил-рубидиевого нитрата ($UO_2RB(NO_3)_3$, в дальнейшем – УРН). Это взаимодействие описывается с помощью спинового гамильтониана

$$\hat{\mathcal{H}} = P \left[\hat{I}_z^2 - \frac{1}{3} I(I+1) \right] \quad (1)$$

где I и \hat{I}_z^2 – спин ядра и оператор квадрата его проекции на ось квантования (в данном случае С-ось кристалла, относительно которой наблюдается ориентация спинов ядер). Для ядер U^{235} константа сверхтонкого электрического взаимодействия P , соглас-

но существующим данным, равна $+0.0154 \pm 0.0027$ °К. Вследствие того, что константа P положительна, метод дает плоскостное выстраивание, т.е. спины ядер выстраиваются в плоскости, перпендикулярной С-оси. Степень выстроенности спиновой системы ядер описывалась с помощью коэффициентов

$$G_2(t) = \sum_M (-1)^{I-M} (IIM-M/20) \cdot \rho_M(t) \quad (2)$$

где $(IIM-M/20)$ – коэффициенты векторного сложения Клебша-Гордона, а ρ_M – элементы матрицы плотности спиновых состояний, имеющие вид

$$\rho_M(t) = \left(\sum_M \exp - \frac{E_M}{kT} \right)^{-1} \exp - \frac{E_M}{kT} \quad (3)$$

В этом выражении E_M – собственные значения оператора (1), T – температура образца. Для рабочей температуры наших опытов ($T = 0,2$ °К) моменты более высоких порядков (G_4, G_6, \dots) были малы и ими пренебрегалось. Температурная зависимость параметра выстроенности G_2 для ядер U^{235} в решетке кристалла УРН, вычисленная при указанном значении константы P , представлена на рис. I. Для $T = 0,2$ °К выстроенность ядер U^{235} в наших опытах составляла $\sim 30\%$ от максимального значения ($G_2^{\max} = -0,386$), соответствующего абсолютному нулю температуры.

Охлаждение образца проводилось в металлическом гелиевом криостате [1], который представлял собой вакуумируемый объем с набором резервуаров для заливки жидкого азота и гелия. Образец и система регистрации осколков располагались в низкотемпературной зоне криостата. Температура образца ниже 1 °К достигалась за счет адиабатического размагничивания в поле сверхпроводящего соленоида блока парамагнитной соли, находящегося в тепловом контакте с образцом. Азотный бак емкостью 5,5 л исполь-

рал в рабочем состоянии $\sim 0,5$ л/час жидкости. Нижняя часть азотного экрана охлаждалась змеевиком с жидким азотом, поступающим из бака. Гелиевый бак с размещенным сверхпроводящим магнитом имел объем 4 л. На его охлаждение от азотной темпера-

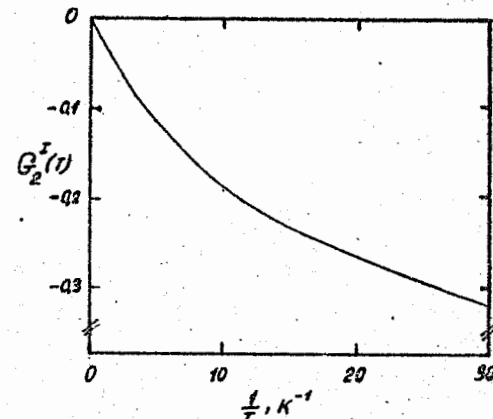


Рис.1. Температурная зависимость параметра быстротехности $G_2(T)$ ядер U^{235} в решетке кристалла УРН при константе сверхтонкого взаимодействия $R/K = 0,0154$ К.

туры и заполнения обычно уходило 6–7 л жидкого гелия. При выключении магнита скорость испарения жидкого гелия составляла $\sim 300 \text{ см}^3/\text{час}$; когда в обмотке магнита протекал рабочий ток, скорость испарения возрастала в 1,5 раза. Откачиваемый гелиевый резервуар имел объем 300 см^3 . Откачка паров гелия проводилась форвакуумным насосом ВН-1. Температура откачиваемого резервуара контролировалась по давлению паров гелия в теплой части вакуумпровода с помощью ртутного и масляного манометров.

В установившемся режиме откачки температура откачиваемого резервуара составляла 1,22 $^{\circ}\text{К}$. Одна заливка этого резервуара обеспечивала ~ 8 часов поддержания указанной температуры. Обмотка сверхпроводящего соленоида изготовлена из $Nb-Zr-Ti$ проволоки $d = 0,24$ мм. Внутренний диаметр обмотки – 48 мм, наружный – 75 мм, высота – 110 мм, количество витков ~ 16 тыс., индуктивность – 2,5 гн. Схема питания магнита позволяла плавно изменять ток соленоида с постоянной времени 10 мин. При токе 6 а напряженность магнитного поля в центре соленоида составляла 10 кэ. Расположение узлов наиболее холодной зоны криостата представлена на рис.2.

В качестве парамагнитной соли использовались хромо-калиевые квасцы, обладающие максимумом магнитной теплоемкости в районе 0,09 $^{\circ}\text{К}$. Блок парамагнитной соли изготовлен путем кристаллизации из насыщенного при 40 $^{\circ}\text{C}$ водного раствора хромо-калиевых квасцов. Расчетная энтальпия использовавшегося блока соли (120 г) для интервала температур 0,1–0,3 $^{\circ}\text{К}$ $\sim 10^5$ эрг. При тепловыделении ~ 30 эрг/сек ожидаемое время поддержания температуры в указанном интервале составляло ~ 10 час. Образец представлял собой пластинку (а в ряде случаев мозаичку из нескольких пластинок) толщиной 1,5–2 мм, вырезанную из монокристалла УРН с естественной смесью изотопов урана параллельно грани $10\bar{1}2$. На пластинку наращивался рабочий монокристаллический слой УРН толщиной ~ 1 мг/ см^2 , в котором естественная смесь изотопов урана была заменена U^{235} 90%-го обогащения. Кроме того, рабочий слой содержал $\sim 1\%$ (по отношению к U^{235}) ядер Np^{237} , добавление которого необходимо для улучшения связи спиновой системы ядер U^{235} с кристаллической решеткой УРН. Монокристаллы УРН с естественным ураном выращивались

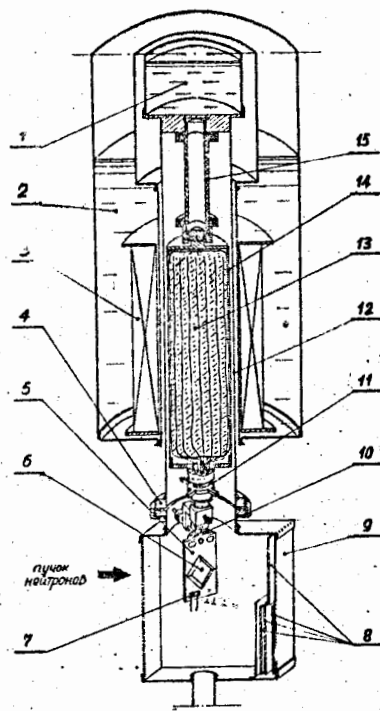


Рис. 2. Вертикальный разрез внутренней части криостата:
 1 - гелиевый 1° -й бачок, 2 - гелиевый 4° -й бачок, 3 - сверхпроводящий магнит, 4 - разъемное индийевое уплотнение, 5 - подложка образца, 6 - монокристаллический образец $U^{235}Rb(NO_3)_3$,
 7 - угольный термометр, 8 - стеклянные детекторы,
 9 - камера, 10 - хладопровод, 11 - фторопластовая центрующая крестовина, 12 - 1° -й экран, 13 - блок парамагнитной соли, 14 - контейнер соли, 15 - графитовый держатель.

из насыщенного при температуре $\sim 50^{\circ}\text{C}$ раствора соли УРН в 16-молярной азотной кислоте методом изотермического испарения. Установка для выращивания [2], представляющая кристаллизатор на основе водяного термостата с термостабилизацией $\pm 0,005^{\circ}\text{C}$, позволяла выращивать монокристаллы УРН с хорошей огранкой объемом до 15 cm^3 и весом до 45 г. Наращивание рабочего слоя проводилось на том же термостате в специальной ячейке. Толщина рабочего слоя определялась по α -активности образца. Идентичность кристаллической структуры рабочего слоя и кристалла-матрицы с естественным ураном проверялась по методике Матвиенко (1968, РИАН) путем снятия обратных лаузграмм K_{α} линии меди до и после нанесения слоя. Проверка качества активного слоя в рабочих условиях, а также проверка работоспособности всей установки в комплексе осуществлялась путем наблюдения угловой анизотропии α -излучения ориентированных ядер Np^{237} [1,3]. Образец приклеивался к медной подложке, припаянной к жгуту медных проволок, пронизывающих парамагнитную соль. В случае мозаики С-оси отдельных кристаллических пластинок ориентировалась в одном направлении. Образец 6 (см. рис.2) вместе с блоком парамагнитной соли 13 с помощью графитовой подвески 15 прикреплялся к дну одноградусного гелиевого бачка 1 внутри камеры 9, соединенной с одноградусным экраном 12. Ориентация С-оси образца по пучку падающих нейтронов и его калибровка по отношению к детекторам осколков 8 осуществлялась благодаря имеющейся возможности передвижения подложки 5 по радиусу, перемещения в вертикальном направлении и поворота вокруг вертикальной оси. Температура образца контролировалась с помощью угольных термометров, приклейенных к подложке 5. Средняя температура образца за время измерений составляла $0,20 \pm 0,05^{\circ}\text{C}$.

Источником нейтронов с энергией 10-150 кэв служила реакция $\text{Li}^7(\rho, n)\text{Be}^7$ под пучком протонов каскадного генератора КГ-2,5 ГЭИ. Использовались мишени из металлического лития, на-

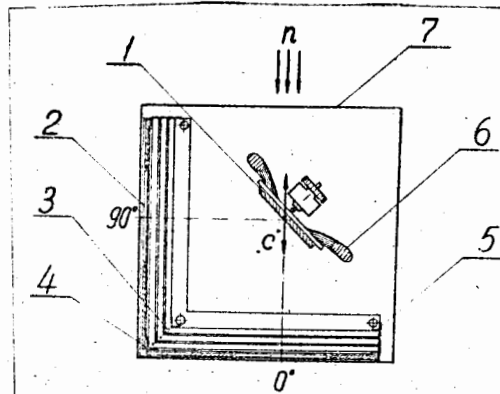


Рис.3. Расположение образца и детекторов. 1 - пластинка монокристалла УРН со слоем $\text{U}^{235}\text{O}_2\text{R}(\text{NO}_3)_3$; 2 - стеклянный детектор осколков; 3 - проволочные тяги; 4,5 - направляющие кассет; 6 - кайдопровод; 7 - камера.

пыление на медную подложку непосредственно в вакуумном объеме ионопровода ускорителя. Форма спектров нейтронов, а также средние энергии нейтронов и их среднеквадратичный разброс рассчитывались по заданному превышению над порогом реакции путем численного интегрирования кинематических соотношений для реакции $\text{Li}(\rho, n)$ с учетом толщин используемых мишеней, конечных размеров мишеней и образцов. Нейтроны со средней энергией 10 кэв получались под углом 120° к пучку протонов с $E_p = 1970$ кэв. Нейтроны остальных энергий получались под 0° к пучку протонов при соответствующих превышениях над порогом реакции на мишенях

толщиной 10-15 кэв. Для получения тепловых нейтронов криостат окружался парарфиновым поясом толщиной 10 см.

Осколки делений регистрировались о помощью стекол. Детектирующая система представляла набор из четырех кассет, снабженных проволочными тягами, выведенными из криостата. Каждая кассета содержала по два стекла размером 2,8 x 3,6 см, расположенных под углом 45° к поверхности образца. Взаимное расположение образца и детекторов представлено на рис.3. Экспонированные стекла травились в 2,5%-ном растворе плавиковой кислоты в течение 15 мин, следы осколков подсчитывались под микроскопом.

В процессе эксперимента регистрировалось количество осколков, вылетающих в направлениях "0°" и "90°" по отношению к С-оси монокристаллического образца в функции энергии нейтронов при двух значениях температуры образца: 0,2 °К, соответствующей выстроенности ядер мишеней U^{235} и 4,2 °К, при которой ориентация ядер мишеней практически отсутствует. Измерения велись последовательно для ориентированных и неориентированных ядер образца при заданной энергии нейтронов и затем в конце опыта проводилось измерение на тепловых нейтронах при температуре образца 4,2 °К, которое соответствовало изотропному угловому распределению осколков. Этот набор данных позволял получить как эффект "выстроенности ядер", т.е. изменения угловой анизотропии осколков, обусловленное выстроенность ядер U^{235} , так и значения анизотропии осколков для ориентированных и неориентированных ядер мишеней. В полученные результаты вводились геометрические поправки на конечность размеров образца и детекторов.

Результаты измерений представлены на рис.4. В приведенных ошибках включены статистические ошибки и погрешности, связанные с введением геометрических поправок и просмотром стекол под микроскопом. Данные, полученные в отсутствие ориентации ядер мишени, согласуются с результатами Нестерова и Смиреникина (1966, ФЭИ), а также Смиреникина, Шпака и др. (1970, ФЭИ) и подтверждают наличие небольшой отрицательной анизотропии осколков в области энергий нейтронов 50–150 кэв. Для выстроенных ядер мишени U^{235} анизотропия осколков положительна во всей исследованной области энергии нейтронов 10–150 кэв. Анизотропия осколков деления выстроенных ядер при $E_n = 10$ кэв хорошо согласуется с результатами Паттендена и Постмы (1971, Харуэлл), усредненными в области $E_n = 1-2$ кэв и приведенными по температурной зависимости выстроенности ядер U^{235} к условиям наших опытов. Полученные нами результаты на тепловых нейтронах по абсолютной величине несколько меньше данных Даббса, Роберса и др. (1960, Ок-Ридж), также приведенных к нашим условиям. В области "включения" ρ -нейтронов анизотропия осколков на ориентированных ядрах мишени уменьшается по абсолютной величине, сохраняя положительные значения.

Угловое распределение осколков при делении нейtronами можно представить в следующем виде

$$\frac{d\sigma_f}{d\Omega}(E_n, T, \theta) = \frac{\lambda^2}{4} \sum_{N=0,2,..,L,T} T_n^{J\pi}(E_n) \cdot \sum_{K=0}^J F_N^{JJK}(T) \cdot J_f^{JJK}(E_n) \cdot P_N(\cos \theta), \quad (4)$$

где λ – длина волны падающего нейтрона, $T_n^{J\pi}$ – оптический коэффициент нейтронной проницаемости, F_N^{JJK} – коэффициенты, характеризующие кинематику реакции, J_f^{JJK} – делимость составного ядра с заданными квантовыми числами: J – спин со-

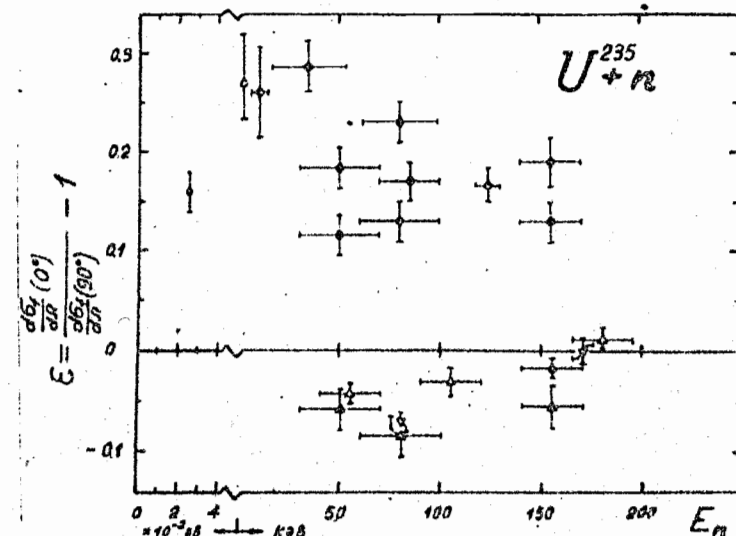


Рис.4. Угловая анизотропия осколков при делении ядер U^{235} нейтронами. \circ , \times – результаты Нестерова и др. и Смиреникина и др. на неориентированных ядрах; \square – данные Паттендена и др., приведенные к условиям нашего эксперимента. Сплошные значения – результаты настоящей работы (\times – ядра мишени не ориентированы, \square – анизотропия осколков на выстроенных при $T = 0.2$ К ядрах U^{235} , $\{$ – эффект выстроенности ядер мишени).

ставного ядра, K — его проекция на ось симметрии ядра, π — четность состояния; P_N — полином Лежандра N -го порядка. Удобство выражения (4) для анализа экспериментальных данных по угловым распределениям осколков заключается в выделении в виде отдельных сомножителей членов, описывающих кинематические условия участвующих во входном канале частиц и последующий распад составного ядра (в данном случае по делительному каналу, представленному делимостями γ_f^{JJK}). Поскольку нейтронные коэффициенты T_n^{JF} и делимости γ_f^{JJK} представляют собой положительные числа, заключенные между 0 и 1, то из выражения (4) следует, что знак вклада каждого состояния делящегося ядра JJK в угловое распределение осколков определяется знаком соответствующего кинематического коэффициента $F_N^{JJK}(T)$. Это позволяет, имея набор коэффициентов $F_N^{JJK}(T)$, сделать заключение о том, какие состояния JJK должны играть определяющую роль (т.е. иметь большие делимости γ_f^{JJK}), чтобы описать наблюдавшее угловое распределение осколков. Эта процедура, которую можно назвать кинематическим анализом, существенно облегчает проведение канального анализа.

Кинематические коэффициенты F_N^{JJK} определяются выражением

$$F_N^{JJK}(T) = 2(2J+1)(-1)^{J-K} \frac{(JJK-K/N)!}{1+\delta_{K0}} \cdot G_N^{JF}(T), \quad (5)$$

в котором G_N^{JF} — коэффициенты выстроенности составного ядра со спином J и четностью F , определяемые выражением типа (2). Значения кинематических коэффициентов $F_N^{JJK}(T)$ для $N=0$ и 2 в отсутствие и при наличии выстроенности ядер мишени для состояний отрицательной и положительной четности делящегося ядра U^{236} , образованных при захвате ядрами U^{235}

соответственно S - и P -нейтронов представлены в табл. I. Для иллюстрации удобства указанного подхода проведен кинематический анализ отрицательной анизотропии осколков на неориентированных ядрах мишени U^{235} и положительной на ориентированных ядрах, наблюдаемой в районе $E_n = 100$ кэВ. Оба экспериментальных факта можно объяснить, предположив, что деление из состояний положительной четности проходит, главным образом, через коллективные состояния $K^F = 0^+$. Поскольку, при этом, состояния с моментами $J^F = 3^+$ и 5^+ для данной полосы запрещены по четности, то анизотропия осколков будет определяться вкладом состояний $J^F = 2^+$ и 4^+ . Для выстроенных ядер мишени оба эти состояния, как видно из табл. I, дают положительную анизотропию, а в отсутствие выстроенности состояния $J^F = 4^+$ — отрицательную, причем заметно большую по абсолютной величине, чем положительный вклад состояния $J^F = 2^+$. Задача дальнейшего анализа состояла в отыскании схемы каналов деления (в подборе высот барьеров, их кривизн и спектра переходных состояний), которая удовлетворяла бы требованиям кинематического анализа. Кроме того, к расчетам предъявлялись требования описания известных экспериментальных данных по средним делительным ширинам S -нейтронных резонансов U^{235} , а также описания величины и энергетического хода полного сечения деления U^{235} нейтронами. При расчете делимостей γ_f^{JJK} по формуле

$$\gamma_f^{JJK}(E_n) = \frac{P_f^{JJK}(E_n)}{T_n^{JF}(E_n) + \sum_K P_f^{JJK}(E_n) + \frac{2\pi}{\langle D \rangle} \cdot \langle f_j \rangle} \quad (6)$$

было использовано выражение Н.Бора-Уилера для средних значений делительных ширин

Таблица I.

Значения кинематических коэффициентов $F_0^{JK}(T)$ и $F_2^{JK}(T)$
в отсутствие и при наличии выстроенности ядер мишени при
захвате ядрами U^{235} ($I^\pi = 7/2^-$) S - и P -нейтронов.

J^π	K	Ядра мишени не выстроены ($T = \infty$)		Ядра мишени выстроены ($T = 0.2$ К)	
		F_0^{JK}	F_2^{JK}	F_0^{JK}	F_2^{JK}
3^-	0	0,...	0,149		
	1	0,4375	0,...	0,4375	+ 0,223
	2		0,...		0,...
	3		0,...		- 0,372
4^-	0	Запрет по четности			
	1		0,...		+ 0,329
	2	0,5625	0,...	0,5625	+ 0,155
	3		0,...		- 0,136
	4		0,...		- 0,542
2^+	0	+ 0,090		+ 0,166	
	1	0,312	+ 0,090	0,3762	+ 0,166
	2		- 0,180		- 0,332
3^+	0	Запрет по четности			
	1		- 0,440		+ 0,031
	2	0,876	0,...	0,844	0,...
	3		+ 0,733		- 0,052
4^+	0	- 0,161		+ 0,233	
	1		- 0,273		+ 0,395
	2	1,125	- 0,129	1,023	+ 0,186
	3		+ 0,113		- 0,163
	4		+ 0,450		- 0,651
5^+	0	Запрет по четности			
	1		+ 0,824		+ 1,114
	2		+ 0,550		+ 0,744
	3	0,690	+ 0,090	0,753	+ 0,123
	4		- 0,550		- 0,744
	5		- 1,374		- 1,859

$$\langle f_f^{JK} \rangle = \frac{\langle D^1 \rangle}{2\pi} \sum_K P_f^{JK} \quad (7)$$

и, кроме того, приняты следующие приближения, слабо влияющие на результаты вычислений: не учитывались флуктуации ширин относительно средних значений; пренебрегалось вкладом неупругого рассеяния нейтронов в полную ширину состояний; значения $\langle D^1 \rangle$ - среднего расстояния между уровнями составного ядра с моментом J полагались на зависящими от энергии возбуждения в рассматриваемом интервале и одинаковыми для состояний положительной и отрицательной четности; радиационная ширина $\langle \Gamma \rangle$ принята равной 0,04 эв и также не зависящей от энергии; на первом этапе не учитывалось ротационное расщепление переходных состояний по J . Средние расстояния $\langle D^1 \rangle$ вычислялись на основе экспериментально известного для U^{235} D набл. = $1,3 \pm 0,1$ эв.

Проницаемость двухгорбого барьера $P_f^{JK}(E_n)$ в околоспоревой области исследовалась Тяпаним и Маршалкиным (1973). При отсутствии резонансных явлений она имеет вид

$$P_f^{JK} = \frac{P_A^{JK} \cdot P_B^{JK}}{[1 + \sqrt{(1 - P_A^{JK})(1 - P_B^{JK})}]^2} \quad (8)$$

где P_A и P_B - проницаемости барьеров A и B , которые при аппроксимации формы барьеров параболами описываются известным выражением Хилла-Уилера

$$P_{A(B)}^{JK}(E_n) = \left[1 + \exp \frac{2\pi}{\hbar w_{A(B)}} (E_{A(B)}^{JK} - B_n - E_n) \right]^{-1}, \quad (9)$$

в котором $E_{A(B)}^{JK}$ - положение переходного состояния (высота барьера деления) с набором квантовых чисел JK на барьерах

A и *B*, отсчитываемые от основного состояния, $B_n = 6.545$ МэВ — энергия связи нейтрона в ядре U^{236} , $\hbar\omega$ — кривизна барьера. Для удобства анализа высота барьера $E_{1(0)}$ представлена в виде

$$E_{4(3)}^{JK} = E_{1(3)}^{2+0} + \Delta E^{K''} + E_{6\alpha}^{JK} \quad (10)$$

где $E_{A(e)}^{2+0}$ - высота барьера для $J\bar{K} = 2^+0$, $\Delta E^{K\pi}$ - превышение над нижайшим барьером "полос" колективных состояний с данными $K\pi$, $E_{бр}^{J\bar{K}}$ - ротационное расщепление состояний по J внутри полосы с данным K . Совокупность величин $\Delta E^{K\pi} + E_{бр}^{J\bar{K}}$ об разуют спектр переходных состояний.

Положение переходных состояний отрицательной четности определялось путем расчета средних делительных ширин S -нейтронных резонансов U^{235} и сравнения с экспериментом (табл. II). Попытки использовать параметры барьеров и спектры переходных состояний, полученные из анализа подбарьерной делимости U^{236} , в (d, ρ_f) и (t, ρ_f) реакциях приводят, как видно из табл. II, к завышенным значениям делительных ширин. Привлечение этих параметров к расчету анизотропии осколков не позволяет объяснить наблюдаемую отрицательную анизотропию для неориентированных ядер мишени в области $E_n = 50-150$ кэВ. Поэтому были выполнены расчеты с измененными значениями параметров (нижняя часть табл. II), которые в общем неплохо описывают наблюдаемые значения средних делительных ширин. Полученное в результате этих расчетов расположение каналов деления отрицательной четности была использована для расчета полного сечения деления и угловой анизотропии осколков при делении U^{235} S -нейтронами. Как видно из табл. III, расчет полного сечения деления при $E_n = 10$ кэВ удов-

Параметры дарьеев, спектры переходных состояний и расчетные значения средних -нейтронных разностей при делении U^{235} нейтронами.

	Bappsep A [MeV]	Bappsep B [MeV]	$\Delta E_{K^{\pm}}$	[MeV]	$\langle f_f^{J''} \rangle$ [MeV]							
	$E_A^{p\pi}$	$\pi\omega_A$	$E_B^{p\pi}$	$\pi\omega_B$	J''	Γ	2^-	1^+	2^+	1^-	3^-	4^-
Эксперимент (1973, BVI-325)												
Back, Bonoddy et al., (G, P _f)	6.1	1.0	5.8	0.7	0.00	0.4	0.45	-	-	0.32	216 ⁻	103 ⁻
Back, Built et al., (E, P _f)	5.7	0.9	5.7	0.6	- ⁺	0.15	0.45	-	-	0.18	644	342
Наклонная падата вер. I	6.0	1.0	5.9	0.7	- ⁺	0.5	0.6	0.8	-	-	117	41
вер. II	5.9	1.0	6.0	0.7	- ⁺	0.5	0.6	0.8	-	-	103	40
вер. III	6.0	1.0	6.0	1.0	- ⁺	0.5	0.55	0.7	1.0	0.9	95	50

леворитально согласуется с экспериментом, в то время как расчетная угловая анизотропия осколков ориентированных ядер преосходит наблюдаемую. Результат этого расчета оказался близким к расчетному значению анизотропии, полученному Паттенденом и Постмой (1971) на основе статистического распределения делительных ширин. В расчетах сечения деления и угловой анизотропии осколков для ряда других энергий нейтронов в интервале до 150 кэв использовалась схема каналов, представленная последней строкой табл. II, в которой расстановка переходных состояний положительной четности выполнена с учетом требований кинематического анализа. Расчет сечения деления, как видно из табл. III, хорошо согласуется с экспериментом. Расчеты угловой анизотропии осколков как для ориентированных, так и для неориентированных ядер мишени U^{235} дают правильные знаки и порядок наблюдаемых величин. Однако абсолютные значения расчетной анизотропии в случае ориентированных ядер примерно втрое больше, а в отсутствие ориентации ядер мишени примерно вчетверо меньше соответствующих экспериментальных результатов. Учет ротационного расщепления переходных состояний приводит к незначительному изменению делимостей χ_f^{jk} и не может быть причиной наблюдаемых расходжений. Существенную трудность представляет количественное описание величины отрицательной анизотропии при делении неориентированных ядер U^{235} в области энергий нейтронов 80-100 кэв. Поскольку 5-нейтроны для неориентированных ядер мишени не дают вклада в угловую анизотропию осколков, были выполнены расчеты с увеличением, по сравнению с предсказаниями сферической оптической модели вкладом p -нейтронов в деление ядер U^{235} при требовании

Таблица II.

Сравнение расчета полного сечения деления и анизотропии ядра мишени выстроены
угловым распределением осколков с экспериментальными данными
деления U^{235} на нейтронах.

E_n [кэв]	T_n^s	T_n^p	Анизотропия осколков			Расчет	Эксперимент	Норма мишени выстроены	$T = 0.2$ К
			Сечение деления Эксперимент [бар^{-1}]	Расчет [бар^{-1}]	Эксперимент				
10	0.1033	0.0033	3.17±0.14	3.600	-0.003	0.26±0.045	0.440		
50	0.215	0.033	1.90±0.10	2.043	-0.037±0.022	0.116±0.025	0.450		
80	0.263	0.062	1.68±0.11	-0.033±0.021	0.128±0.023	0.128±0.023			
100	0.288	0.083	1.69±0.11	1.684	-0.016				0.448
150	0.330	0.133	1.48±0.09	1.560	-0.054±0.023	-0.022	0.128±0.025	0.440	

сохранения полного сечения деления. Результаты этих расчетов, представленные в табл. IV, показывают, что лишь в предположении деления U^{235} полностью ρ -нейтронами расчетное значение отрицательной анизотропии достигает наблюдаемых величин. Однако расхождение для ориентированных ядер мишени, при этом, увеличивается еще больше. Указанные расхождения расчета угловой анизотропии с экспериментом могут быть уменьшены, если предположить, что деление из состояний положительной четности идет преимущественно через состояния $J^\pi = 3^+$ и 4^+ [5]. Это предположение, при сохранении вышеприведенных ограничений относительно K , приводит к увеличению расчетной отрицательной анизотропии осколков деления для неориентированных ядер мишени U^{235} и уменьшению положительной анизотропии на ориентированных ядрах.

Таким образом, в результате совместного анализа измеренных в данной работе угловой анизотропии осколков при делении ориентированных и неориентированных ядер U^{235} , других известных экспериментальных данных по угловой анизотропии осколков, средним делительным ширинам S -нейтронных резонансов U^{235} и полному сечению деления нейтронами ядер U^{235} в рамках одномерной модели с двугорбым барьером деления и в предположении сохранения квантового числа K в процессе прохождения ядра от переходных состояний к конфигурации разделения осколков получены значения высот барьеров: $E_A = (6,0 \pm 0,1) \text{ МэВ}$, $E_B = (6,0 \pm 0,1) \text{ МэВ}$, согласующиеся с данными Линна и Бьернхольма (1973): $E_A = (5,9 \pm 0,2) \text{ МэВ}$, $E_B = (6,0 \pm 0,2) \text{ МэВ}$. Получен также спектр переходных состояний делящегося ядра U^{236} , согласующийся с гипотезой об обогащении ядер вблизи порога через небольшое число хорошо разделенных состояний коллективной природы. Сравнение полученного спектра с результатами каналового ана-

Таблица V.

Расчетные значения угловых анизотропий осколков при различных соотношениях наследия S — и ρ —волн при делении урана-235 нейтронами с энергией 100 кэВ.

T_n^S	T_n^ρ	$\frac{\sigma_4^S}{\sigma_4' + \sigma_4''}$	$\frac{\sigma_4\rho}{\sigma_4' + \sigma_4''}$	σ_4 [Барн]	$\epsilon = \frac{N^o}{N^{ex}} - 1$
0,289 [±] 0,033 [±]	0,63	0,37		1,68	- 0,016 + 0,448
0,15	0,15	0,37	0,63	1,70	- 0,029 + 0,464
0,...	0,25	0,...	1,0	1,66	- 0,050 + 0,484

ЭКСПЕРИМЕНТ Ядра мишени не ориентированы
— Выстроены $T = 0,2^{\circ}\text{X}$
— Выстроены $T = 0,2^{\circ}\text{Y}$

[±]) Коэффициенты нейтронной проникаемости взяты в соответствии с оптической моделью.

иза подбарьерной делительности U^{236} и (d, pf) и (t, pf) реакциях указывает на отличие в положении полосы колективных состояний $K = 2^+$ и присутствие полосы $K = 2^-$. Использованный подход позволяет описывать наблюдаемые значения средних делительных ширин S -нейтронных резонансов U^{235} , значение и энергетический ход сечения деления в диапазоне энергий нейтронов 10-150 кэв, а также качественно правильно отражает наблюдаемую угловую анизотропию осколков деления для ориентированных и неориентированных ядер мишени U^{235} . В то же время, количественное описание наблюдаемой угловой анизотропии сталкивается со значительными трудностями, которые свидетельствуют о необходимости дальнейшего развития существующих модельных представлений процесса деления.

В заключение кратко сформулируем основные результаты работы.

1. Освоена методика экспериментов с ориентированными в решетке кристалла УРН ядрами актинидов. Создана экспериментальная установка, позволяющая исследовать угловую анизотропию осколков деления и γ -излучения ориентированных ядер изотопов урана и нептуния. Создана также установка для выращивания монокристаллов УРН объемом до 15 см³. Разработана методика получения тонких монокристаллических слоев, содержащих изотопы урана и нептуния на основе кристалла-матрицы УРН.

2. Проведены измерения угловой анизотропии осколков при делении неориентированных ядер U^{235} в области $E_n = 50-150$ кэв, подтверждавшие наличие отрицательной анизотропии.

3. Впервые проведены измерения угловой анизотропии осколков при делении нейtronами с энергией 10-150 кэв ядер U^{235} ,

выстроенных в решетке кристалла УРН за счет электрического светоктонного взаимодействия при охлаждении до $T=0,2$ К.

4. Проведен расчет кинематики реакции при захвате ядром U^{235} s - и p -нейтронов. Показано, что кинематический анализ может служить эффективным методом в исследовании канальной структуры барьера вблизи порога деления.

5. В результате совместного анализа экспериментальных данных получены значения параметров барьеров А и В, а также спектр переходных состояний делящегося ядра U^{236} , позволяющие количественно описать наблюдаемые значения средних делительных ширин S -нейтронных резонансов и сечение деления ядер U^{235} нейтронами, а также качественно правильно отражающие наблюдаемую угловую анизотропию осколков при делении ориентированных и неориентированных ядер U^{235} .

6. Указано на трудности количественного описания наблюдаемой угловой анизотропии осколков при делении ориентированных и неориентированных ядер мишени U^{235} в исследованной области энергий нейтронов в рамках существующих моделей процесса деления. Для улучшения количественного описания наблюдаемой угловой анизотропии осколков указано на необходимость увеличения вклада состояний $J^\pi = 3^+$ и 4^+ из p -нейтронной волны с малыми значениями проекции K .

Основные результаты диссертации опубликованы в работах [1-5].

Л И Т Е Р А Т У Р А .

1. Н.Н.Гонин, Л.К.Козловский, Д.И.Тамбовцев, Ю.Я.Стависский.
ИГЭ, I, 47, 1974.
2. А.И.Гентош, Н.Н.Гонин, Л.К.Козловский, Д.И.Тамбовцев.
ИГЭ, I, 232, 1975.
3. Н.Н.Гонин, Л.К.Козловский, Ю.Я.Стависский, Д.И.Тамбовцев.
Известия АН СССР, серия физ., 38, I, 78, 1974.
4. Н.Н.Гонин, В.К.Горянов, Л.К.Козловский, Н.С.Работнов,
Ю.Я.Стависский, Д.И.Тамбовцев. Письма в ЖЭФ, 20, 507, 1974.
5. Л.К.Козловский, Н.С.Работнов. Препринт ФЭИ - 253, 1971.

58

ТБ-02447 от 7.07.1975 г. Объем I, I уч.-изд, л. Тираж 150 экз.
Заказ № 350 Бесплатно

Отпечатано на ротапринте ФЭИ, июль 1975 г.